



Instituto Tecnológico
GeoMinero de España

INFORMACION COMPLEMENTARIA

HOJA N° 166 (19-9)

MONTORIO

ALBUM DE FOTOGRAFIA



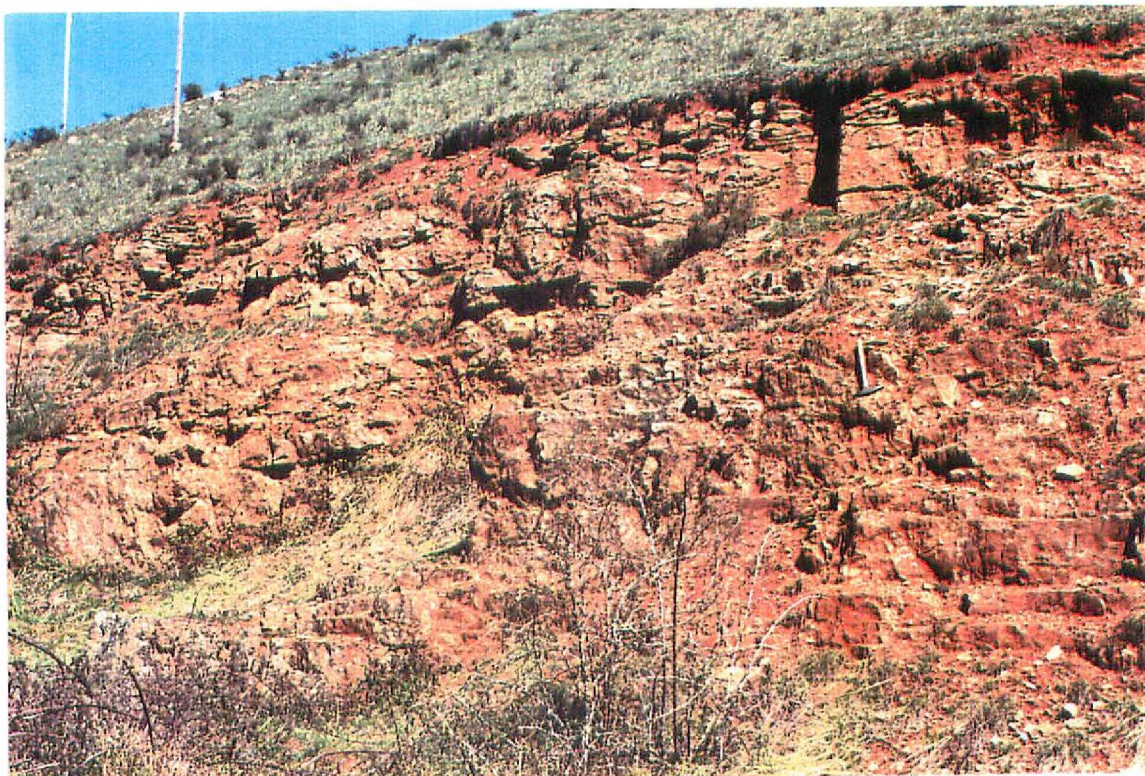
MINISTERIO DE INDUSTRIA Y ENERGIA

HOJA N° 166 (19-9)

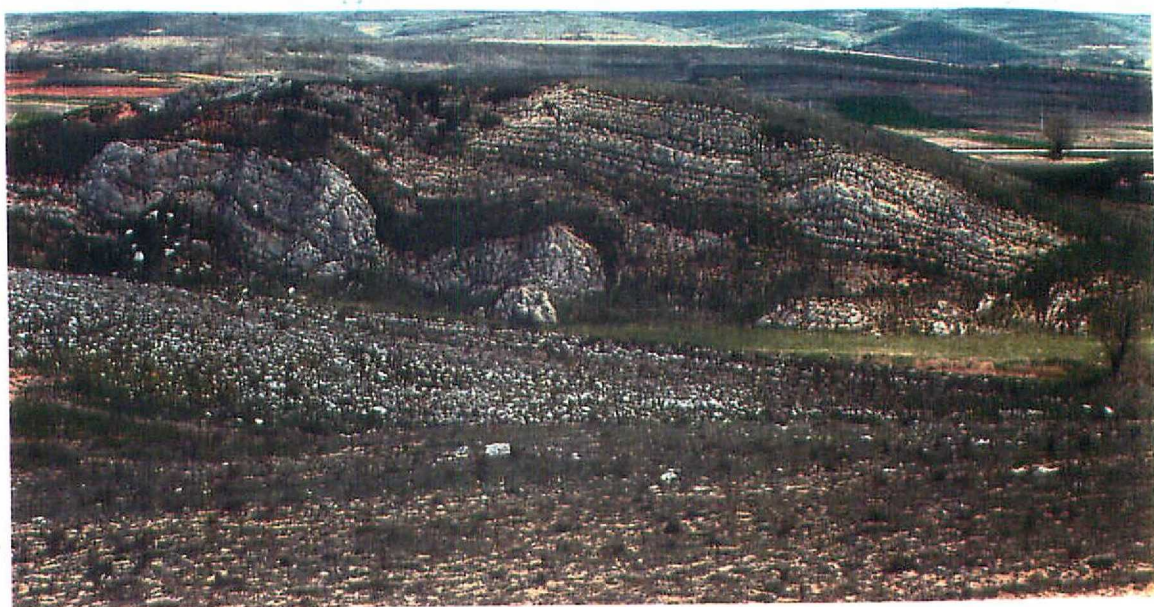
MONTORIO



PV.9400.- Ofitas triásicas alteradas (con disyunción en bolas) en contacto con arcillas rojas yesíferas del Keuper (derecha). SE. de Montorio.



PV-9401.- Dolomías del Lías inferior al E. de Quintanilla Pedro Abarca.



PV-9402.- Afloramientos jurásicos (Lias-Dogger) al N. de La Nuez de Arriba.



PV-9403.- Arcillas rojas del Purbeck (con areniscas basales y caliza superior) discordante sobre Dogger (izda.) y recubiertas por el Weald (dcha.) N. de La Nuez de Arriba.



PV-9404.- Conglomerados y arenas silíceas (potencia métrica de los bancos) del Weald-Utrillas (c/ F. "Escucha"). NO. de Montorio.



PV-9405.- Arenas y arcillas abigarradas de la F. "Utrillas". ONO. de Montorio.



PV-9406.- El paso Cretácico inferior a superior en la C^a. Villadiego-Poza de la Sal, al NE. de la Falla del Urbel. A la derecha Fm. calco-margosa (Albiense-Cenomaniense-Turonense). A su pie (cárcavas blancas), F. "Utrillas" (Albiense), y a la izquierda F. de Weald y del paso Weald-Utrillas.



PV-9407.- Margas y calizas nodulosas del Albense-Cenomaniense-Turonense en la C. de Burgos-Santander (Sierra de Ubierna).



PV-9408.- Calizas y dolomías del Turoniense-Cenomaniense en el valle del Urbel (Sierra de Ubierna).



PV-9409.- Margas y calizas de Lacazinas (Suprayacentes) (Santoniente) del borde sur del Páramo de Masa.



PV-9410.- Id. anterior. En primer término, calizas de la parte alta del Coniaciense.



PV-9411.- Estratificación oblicua en calizas de Lacazinas (Santonense) N. de Cernéguda.



PV-9412.- Terciario del Duero. De izquierda a derecha: margas blancas (ORLEANIENSE-AGENIENSE) de Dueñas, caliza "terminal" de Dueñas (replano estructural) y arcillas de la F. Tierra de Campos (labrantío de color ocre). E. del Valle del Urbel (visible en penúltimo término).



PV-9413.- Terciario del Duero. De izquierda a derecha (y de abajo a arriba): Caliza "terminal" de Dueñas (a la izquierda del automóvil), arcillas de la F. Tierra de Campos (labrantío de color ocre), margas de la F. Cuestas (cárcavas blancas) y calizas "terminales" de Cuestas o del Páramo inferior (en la parte más alta). E. del Valle del Urbel.

VALLESIENSE



PV-9414.- Acuñamiento hacia el sur (izda. de la foto) de los conglomerados de Alar del Rey (nivel rojo). Visto de la C^a. Huérme-
ces-Ruyales del Páramo. ➔ASTARACIENSE-ORLEANIENSE



PV-9415.- Pase continuo local (inexistencia de F. Tierra de Campos y de
 (ASTARACIENSE) los conglomerados de Alar del Rey) entre la caliza "terminal"
 -ORLEANIENSE de Dueñas (izquierda en la foto) y las F. Cuestas (cárcavas
 (ORLEANIENSE) blancas a la derecha de la foto). Visto desde la C^a. Huérme-
 ces-Ruyales del Páramo.

VALLESIENSE



ORLEANIENSE-AGENIENSE

PV-9416.- Terciario de La Bureba. Los conglomerados y arcillas marginales de la F. Bureba, inclinados (flexura de Abajás), en Castillo de Lences. Al fondo y arriba, el Páramo de Poza de la Sal (Superficie de erosión, S_2 . finiterciaria).



PV-9417.- Conglomerados y arcillas marginales de la F. Bureba en la C^a. de Burgos-Aguilar del Campó (por el valle del Urbel), 6-7 km al N. de Huérmeces.

ORLEANIENSE-AGENIENSE



PV-9418.- La F. Bureba (rojo) rellenando una paleodepresión tallada en el Cretácico. NE. de Masa. *ORLEANIENSE-AGENIENSE*



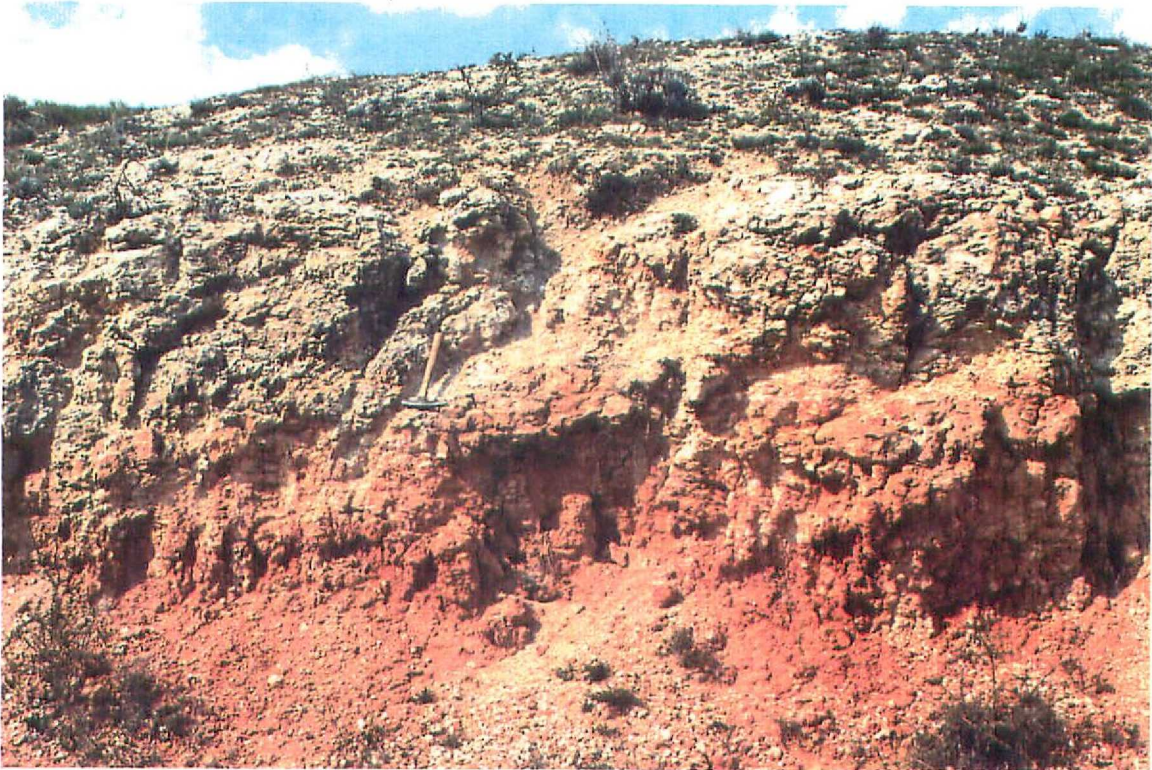
PV-9419.- La F. Bureba, típicamente acarcavada, al NE. de la Molina de Ubierna. *ORLEANIENSE-AGENIENSE*



ORLEANIENSE

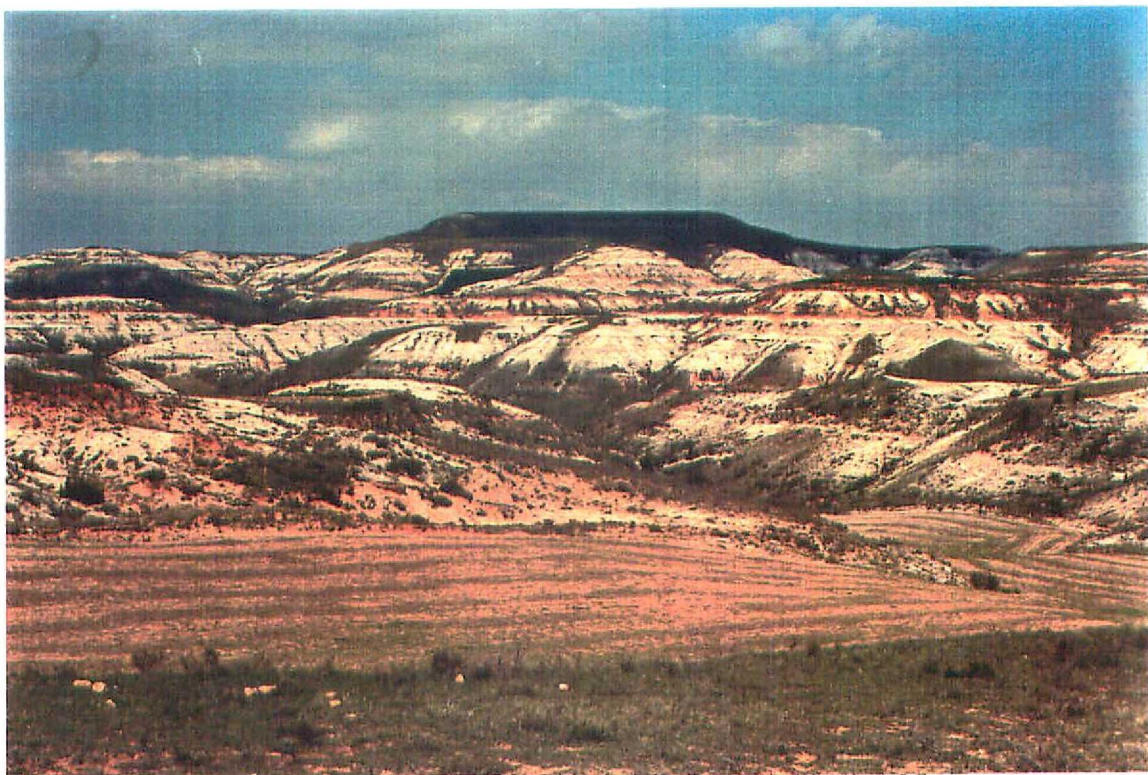
PV-9420.- Terciario de La Bureba. La F. Carcedo y, encina, la F. Grisblanca al S. de Melgosa.

ORLEANIENSE



ORLEANIENSE

PV-9421.- Paleocaliche de la F. Carcedo, desarrollado sobre limos rojos. N. de Melgosa.



PV-9422.- Interdigitaciones entre las F. Carcedo y Gris-blanca al NE. de Melgosa. *ORLEANIENSE* *ORLEANIENSE*



PV-9423.- Margas blancas y niveles oscuros ricos en materia orgánica y carbón (turba). Materiales asociados a facies travertínicas cuaternarias-Río de la Molina, al NE. de La Molina de Ubier-
na.



PV-9424.- Anticlinal en dolomías del Lías inferior. A la izquierda, F. "Utrillas" discordantes. Al Oeste de Quintanilla Pedro Abarca.



PV-9425.- Anticlinal en calizas y dolomías del Turoniense-Coniaciense. C. Burgos-Santander en la Sierra de Ubierna.



PV-9426.- Sinclinal laxo en calizas y dolomías del Turoniense-Coniense. Sierra de Ubierna en el Valle del Urbel.



PV-9427.- Anticlinal laxo en calizas y dolomías del Turoniense-Coniense. Sierra de Ubierna en el Valle del Urbel.



PV-9428.- El anticlinal de Quintanilla (en las calizas y dolomías del Turoniense-Coniaciense) visto desde el oeste (proximidades de la C^a. Burgos-Santander).



PV-9429.- El anticlinal de Quintanilla (izquierda) limitando hacia el sur la Plataforma estructural de los Páramos de la Lora (Me-
sozoico, derecha). Vista hacia el este.



PV-9430.- Fractura en el Cretácico (Cenomaniense) de la plataforma estructural de Los Páramos de la Lora, N. de Quintanilla-Sobresierra.



PV-9431.- De izquierda (segundo término) a derecha (al fondo), traza de la Falla del Urbel, vista desde el oeste. La población fotografiada es La Nuez de Arriba.



PV-9432.- La Falla del Urbel, poniendo en contacto arcillas rojas del Keuper con calizas y dolomías del Turoniense-Coniaciense. Foto tomada 2,5 km al NO. de Castillo de Rucios.



PV-9433.- La Falla del Urbel, poniendo en contacto calizas y dolomías del Turoniense-Coniaciense con formaciones blandas, calizas-margosas del Cenomanense. Foto tomada a 3 km. al NO. del Castillo de Rucios.



PV-9434.- A la izquierda, borde occidental del diapiro de Poza de la Sal, visto desde el norte. (No situada en el mapa)



PV-9435.- La flexura de Quintanamuz afectando a materiales terciarios de la Depresión de La Bureba. Vista desde el OSO.



PV-9436.- La superficie de erosión S₁, desarrollada sobre los conglomerados rojos de la F. Alar del Rey, en Ruyales ^{ASTARACIENSE} del Páramo (la población de la foto), vista desde el oeste. A la derecha, margas blancas de la F. Cuestas, que fosilizan dicha superficie. ^{VALLESIENSE- ASTARACIENSE}



PV-9437.- La superficie de erosión principal (S₂, correlativa con la "Poligénica de Los Páramos) profundamente hendida por el río Urbel y sus afluentes. Vista hacia el norte.



PV-9438.- La superficie de erosión principal (S_2 , correlativa con la "Poligénica de los Páramos") en el Páramo de Poza de la Sal (desarrollada aquí sobre Cretácico Superior). Vista hacia el NO. (No situado en el mapa)



PV-9439.- Enlace morfológico entre la superficie de erosión S_2 desarrollada sobre el Mesozoico (mitad izquierda de la fotografía) y la superficie "poligénica de Los Páramos", del Terciario (mitad derecha). Vista desde el NO. La población que aparece en la fotografía es Huérmeces.



PV-9440.- Valle asimétrico del río San Antón visto hacia el oeste, desde la inmediaciones de Masa. A la izquierda, superficie estructural desarrollada sobre las calizas y dolomías del Turoniense-Coniaciense. A la derecha frente de cuestas (en el que afloran las margas Santonienses) coronado por las calizas de Lacazinas (Santoniense).



PV-9441.- Frente de cuesta tapizado por depósitos de ladera regularizados, disectado por cárcavas posteriores (en las que afloran margas santonienses). Coronan las calizas de Lacazinas (Santoniense). Inmediaciones de Masa.



PV-9442.- Erosión ruiniforme en las calizas de Lacazinas (Santoniente), al norte de Nidáguila.



PV-9443.- La laguna de Cernégula vista desde el NE. Pequeña área endorreica local debida a la actividad antigua de un cono de deyección (sobre el que se sitúa la población), sito a la izquierda de la fotografía.



PV-9444.- La captura, en Hontomín (población que aparece en la foto) de la cuenca del Ubierna (cuyos cursos corren de derecha a izquierda, hacia el Duero) por el río Homino (barranquera principal, en el centro-derecha de la foto, que muestra el codo de captura), de la red del Ebro. Vista desde el SE.



PV-9445.- Encajamiento rápido del río de Bárcena (red del Ebro) en su propio aluvial. Vista hacia el sur desde las proximidades de Castil de Lences.



PV-9446.- Surgencias poco importantes en los contactos caliza nodulosa-marga (Cenomaniense) en el talud de la C. Burgos-Santander al N. de Quintanilla-Sobresierra.



PV-9447.- Explotación de nivel de arenas silíceas en la base de la Formación de tránsito ("Escucha") entre Weald y Utrillas. Fotografía tomada desde el este, desde el frente de cuesta tallado en las calizas cenomanienses. Las formaciones del Weald-Utrillas (zonas blandas, labradas, en segundo término) están separadas de los relieves calizos del Cretácico superior del fondo (área de la Nuez de Arriba) por la Falla del Urbel.



PV-9448.- Explotación (para carbonato cálcico) de las margas blancas (asociadas a travertinos) cuaternarias del río Bárcena, en las proximidades de Bárcena de Bureba.



PV-9449.- Extracción de petróleo a 1 km al NO. de Hontomín (pozo Hontomín 2), y prácticamente en el límite entre los conglomerados de borde de la F. Bureba (tonos rojizos, en primer plano) y las calizas y dolomías del Turoniense-Coniaciense (grises, al fondo).



































































































